

## เอกสารอ้างอิง

1. กรมอนามัย. (2009). รายงานผลการสำรวจสภาวะสุขภาพช่องปากระดับประเทศไทย ปี ๖.  
(2549-2550) part 1. Retrieved 28 Feb, 2009, from <http://dental.anami.moph.go.th>
2. Newman, G., Takei, H., Klokkevold, R., & Carranza, A. (2006). *CLINICAL PERIODONTOLOGY* (10 ed.). China: SAUNDERS.
3. Sreenivasan, P., & Gaffar, A. (2002). Antiplaque biocides and bacterial resistance: a review. *J Clin Periodontol*, 29(11), 965-974.
4. Newman, G., Takei, H., Klokkevold, R., & Carranza, A. (2006). *CLINICAL PERIODONTOLOGY* (10 ed.). China: SAUNDERS.
5. Charles, F. L., Lora, L. A., Morton, P. G., & Leonard, L. L. (2002-2003). *Drug Information Handbook* (10 ed. Vol. 1). [n.p.]: Lexi-Comp.
6. Handal, T., Olsen, I., Walker, C. B., & Caugant, D. A. (2004). Beta-lactamase production and antimicrobial susceptibility of subgingival bacteria from refractory periodontitis. *Oral Microbiol Immunol*, 19(5), 303-308.
7. Kuriyama, T., Karasawa, T., Nakagawa, K., Nakamura, S., & Yamamoto, E. (2002). Antimicrobial susceptibility of major pathogens of orofacial odontogenic infections to 11 beta-lactam antibiotics. *Oral Microbiol Immunol*, 17(5), 285-289.
8. Jacobs, M. R., Spangler, S. K., & Appelbaum, P. C. (1992). beta-Lactamase production and susceptibility of US and European anaerobic gram-negative bacilli to beta-lactams and other agents. *Eur J Clin Microbiol Infect Dis*, 11(11), 1081-1093.
9. Konopka, K., & Goslinski, T. (2007). Photodynamic therapy in dentistry. *J Dent Res*, 86(8), 694-707.
10. Meisel, P., & Kocher, T. (2005). Photodynamic therapy for periodontal diseases: state of the art. *J Photochem Photobiol B*, 79(2), 159-170.
11. Komerik, N., & MacRobert, A. J. (2006). Photodynamic therapy as an alternative antimicrobial modality for oral infections. *J Environ Pathol Toxicol Oncol*, 25(1-2), 487-504.

12. Wood, S., Nattress, B., Kirkham, J., Shore, R., Brookes, S., Griffiths, J., et al. (1999). An in vitro study of the use of photodynamic therapy for the treatment of natural oral plaque biofilms formed in vivo. *J Photochem Photobiol B*, 50(1), 1-7.
13. Zanin, I. C., Goncalves, R. B., Junior, A. B., Hope, C. K., & Pratten, J. (2005). Susceptibility of *Streptococcus mutans* biofilms to photodynamic therapy: an in vitro study. *J Antimicrob Chemother*, 56(2), 324-330.
14. Komerik, N., Nakanishi, H., MacRobert, A. J., Henderson, B., Speight, P., & Wilson, M. (2003). In vivo killing of *Porphyromonas gingivalis* by toluidine blue-mediated photosensitization in an animal model. *Antimicrob Agents Chemother*, 47(3), 932-940.
15. Qin, Y. L., Luan, X. L., Bi, L. J., Sheng, Y. Q., Zhou, C. N., & Zhang, Z. G. (2008). Comparison of toluidine blue-mediated photodynamic therapy and conventional scaling treatment for periodontitis in rats. *J Periodontal Res*, 43(2), 162-167.
16. Luksiene, Z. (2005). New Approach to Inactivation of Harmful and Pathogenic Microorganisms by Photosensitization. *Food Technol. Biotechnol.*, 43, 411-418.
17. Wood, S., Metcalf, D., Devine, D., & Robinson, C. (2006). Erythrosine is a potential photosensitizer for the photodynamic therapy of oral plaque biofilms. *J Antimicrob Chemother*, 57(4), 680-684.
18. Soukos, N. S., Som, S., Abernethy, A. D., Ruggiero, K., Dunham, J., Lee, C., et al. (2005). Phototargeting oral black-pigmented bacteria. *Antimicrob Agents Chemother*, 49(4), 1391-1396.
19. Gould, K. S., Kuhn, D. N., Lee, D. W., & Oberbauer, S. F. (1995). Why leaves are sometimes red. *Nature*, 378, 241-242.
20. Tsuda, T., Horio, F., & Osawa, T. (1998). Dietary cyanidin 3-O-beta-D-glucoside increases ex vivo oxidation resistance of serum in rats. *Lipids*, 33(6), 583-588.
21. Fukumoto, L. R., & Mazza, G. (2000). Assessing antioxidant and prooxidant activities of phenolic compounds. *J Agric Food Chem*, 48(8), 3597-3604.
22. Youdim, K. A., McDonald, J., Kalt, W., & Joseph, J. A. (2002). Potential role of dietary flavonoids in reducing microvascular endothelium vulnerability to oxidative and inflammatory insults ( small star, filled). *J Nutr Biochem*, 13(5), 282-288.

23. Wang, J., & Mazza, G. (2002). Inhibitory effects of anthocyanins and other phenolic compounds on nitric oxide production in LPS/IFN-gamma-activated RAW 264.7 macrophages. *J Agric Food Chem*, 50(4), 850-857.
24. Nohynek, L. J., Alakomi, H. L., Kahkonen, M. P., Heinonen, M., Helander, I. M., Oksman-Caldentey, K. M., et al. (2006). Berry phenolics: antimicrobial properties and mechanisms of action against severe human pathogens. *Nutr Cancer*, 54(1), 18-32.
25. Chen, P. N., Kuo, W. H., Chiang, C. L., Chiou, H. L., Hsieh, Y. S., & Chu, S. C. (2006). Black rice anthocyanins inhibit cancer cells invasion via repressions of MMPs and u-PA expression. *Chem Biol Interact*, 163(3), 218-229.
26. Kang, S. Y., Seeram, N. P., Nair, M. G., & Bourquin, L. D. (2003). Tart cherry anthocyanins inhibit tumor development in Apc(Min) mice and reduce proliferation of human colon cancer cells. *Cancer Lett*, 194(1), 13-19.
27. Matsumoto, H., Nakamura, Y., Tachibanaki, S., Kawamura, S., & Hirayama, M. (2003). Stimulatory effect of cyanidin 3-glycosides on the regeneration of rhodopsin. *J Agric Food Chem*, 51(12), 3560-3563.
28. Katsube, N., Iwashita, K., Tsushida, T., Yamaki, K., & Kobori, M. (2003). Induction of apoptosis in cancer cells by Bilberry (*Vaccinium myrtillus*) and the anthocyanins. *J Agric Food Chem*, 51(1), 68-75.
29. Galli, R. L., Shukitt-Hale, B., Youdim, K. A., & Joseph, J. A. (2002). Fruit polyphenolics and brain aging: nutritional interventions targeting age-related neuronal and behavioral deficits. *Ann NY Acad Sci*, 959, 128-132.
30. Renaud, S., & de Lorgeril, M. (1992). Wine, alcohol, platelets, and the French paradox for coronary heart disease. *Lancet*, 339(8808), 1523-1526.
31. Ali, B. H., Al Wabel, N., & Blunden, G. (2005). Phytochemical, pharmacological and toxicological aspects of *Hibiscus sabdariffa* L.: a review. *Phytother Res*, 19(5), 369-375.
32. Rodenburg, J. P., van Winkelhoff, A. J., Winkel, E. G., Goene, R. J., Abbas, F., & de Graaff, J. (1990). Occurrence of *Bacteroides gingivalis*, *Bacteroides intermedius* and *Actinobacillus actinomycetemcomitans* in severe periodontitis in relation to age and treatment history. *J Clin Periodontol*, 17(6), 392-399.

33. Baelum, V., Pisuthanakan, S., Teanpaisan, R., Pithpornchaiyakul, W., Pongpaisal, S., Papapanou, P. N., et al. (2003). Periodontal conditions among adults in Southern Thailand. *J Periodontal Res*, 38(2), 156-163.
34. Jan, L., Thorkild, K., & Niklaus, P. L. (2003). *Clinical Periodontology and Implant Dentistry*. (4 ed.). Paris: Blackwell Munksgaard.
35. Okuda, K., Fukumoto, Y., Takazoe, I., Slots, J., & Genco, R. J. (1987). Capsular structures of black-pigmented *Bacteroides* isolated from humans. *Bull Tokyo Dent Coll*, 28(1), 1-11.
36. Kennell, W., & Holt, S. C. (1990). Comparative studies of the outer membranes of *Bacteroides gingivalis*, strains ATCC 33277, W50, W83, 381. *Oral Microbiol Immunol*, 5(3), 121-130.
37. Mihara, J., Yoneda, T., & Holt, S. C. (1993). Role of *Porphyromonas gingivalis*-derived fibroblast-activating factor in bone resorption. *Infect Immun*, 61(8), 3562-3564.
38. Mihara, J., Miyazawa, Y., & Holt, S. C. (1993). Modulation of growth and function of human gingival fibroblasts by fibroblast-activating factor derived from *Porphyromonas gingivalis* W50. *Infect Immun*, 61(2), 596-601.
39. Watanabe, K., Takasawa, T., Yoshimura, F., Ozeki, M., & Kato, H. (1992). Molecular cloning and expression of a major surface protein (the 75-kDa protein) of *Porphyromonas (Bacteroides) gingivalis* in *Escherichia coli*. *FEMS Microbiol Lett*, 92, 47-56.
40. Fujiwara, T., Ogawa, T., Sobue, S., & Hamada, S. (1990). Chemical, immunobiological and antigenic characterizations of lipopolysaccharides from *Bacteroides gingivalis* strains. *J Gen Microbiol*, 136(2), 319-326.
41. Nair, B. C., Mayberry, W. R., Dziak, R., Chen, P. B., Levine, M. J., & Hausmann, E. (1983). Biological effects of a purified lipopolysaccharide from *Bacteroides gingivalis*. *J Periodontal Res*, 18(1), 40-49.
42. Takada, H., Hirai, H., Fujiwara, T., Koga, T., Ogawa, T., & Hamada, S. (1990). *Bacteroides* lipopolysaccharides (LPS) induce anaphylactoid and lethal reactions in LPS-responsive and -nonresponsive mice primed with muramyl dipeptide. *J Infect Dis*, 162(2), 428-434.

43. Ogawa, T., Uchida, H., & Amino, K. (1994). Immunobiological activities of chemically defined lipid A from lipopolysaccharides of *Porphyromonas gingivalis*. *Microbiology*, 140 (Pt 5), 1209-1216.
44. Ogawa, T. (1994). Immunobiological properties of chemically defined lipid A from lipopolysaccharide of *Porphyromonas (Bacteroides) gingivalis*. *Eur J Biochem*, 219(3), 737-742.
45. Tanamoto, K., Azumi, S., Haishima, Y., Kumada, H., & Umemoto, T. (1997). Endotoxic properties of free lipid A from *Porphyromonas gingivalis*. *Microbiology*, 143 (Pt 1), 63-71.
46. Tanamoto, K., Shade, U., Rietschel, E. T., Kusumoto, S., & Shiba, T. (1990). Endotoxic induction of prostaglandin release from macrophages by nontoxic lipid A analogs synthesized chemically. *Infect Immun*, 58(1), 217-221.
47. Tamura, M., Tokuda, M., Nagaoka, S., & Takada, H. (1992). Lipopolysaccharides of *Bacteroides intermedius* (*Prevotella intermedia*) and *Bacteroides (Porphyromonas) gingivalis* induce interleukin-8 gene expression in human gingival fibroblast cultures. *Infect Immun*, 60(11), 4932-4937.
48. Okuda, K., Slot, J., & Genco, R. (1981). *Bacteroides gingivalis*, *Bacteroides ascccharoyticus* and *Bacteroides melaninogenicus* cell surface morphology and adherence to erythrocytes and human buccal epithelial cells. *Curr Microbiol*, 6, 7-12.
49. Weinberg, A., Belton, C., Park, Y., & Lamont, R. (1997). Role of fimbriae in *Porphyromonas gingivalis* invasion of gingival epithelial cells. *Infect Immun*, 65, 313-316.
50. Kuramitsu, H. K., Yoneda, M., & Madden, T. (1995). Proteases and collagenases of *Porphyromonas gingivalis*. *Adv Dent Res*, 9(1), 37-40.
51. Grenier, D. (1992). Nutritional interactions between two suspected periodontopathogens, *Treponema denticola* and *Porphyromonas gingivalis*. *Infect Immun*, 60, 5298-5301.

52. Uitto, V., Larjava, H., Heino, J., & Sorsa, T. (1989). A protease of *Bacteroides gingivalis* degrades cell surface and matrix glycoproteins of cultured gingival fibroblasts and induces secretion of collagenase and plasminogen activator. *Infect Immun*, 57, 213-218.
53. Binder, T. A., Goodson, J. M., & Socransky, S. S. (1987). Gingival fluid levels of acid and alkaline phosphatase. *J Periodontal Res*, 22(1), 14-19.
54. Frank, R. M., & Voegel, J. C. (1978). Bacterial bone resorption in advanced cases of human periodontitis. *J Periodontal Res*, 13(3), 251-261.
55. Amano, A., Shizukuishi, S., Tamagawa, H., Iwakura, K., Tsunashawa, S., & Tsunemitsu, A. (1990). Characterization of superoxide dismutases purified from either anaerobically maintained or aerated *Bacteroides gingivalis*. *J Bacteriol*, 172(3), 1457-1463.
56. Nakayama, K. (1994). Rapid viability loss on exposure to air in a superoxide dismutase-deficient mutant of *Porphyromonas gingivalis*. *J Bacteriol*, 176(7), 1939-1943.
57. Lamont, R. J., Gil, S., Demuth, D. R., Malamud, D., & Rosan, B. (1994). Molecules of *Streptococcus gordonii* that bind to *Porphyromonas gingivalis*. *Microbiology*, 140 (Pt 4), 867-872.
58. Lamont, R. J., Hersey, S. G., & Rosan, B. (1992). Characterization of the adherence of *Porphyromonas gingivalis* to oral streptococci. *Oral Microbiol Immunol*, 7(4), 193-197.
59. Nagata, H., Murakami, Y., Inoshita, E., Shizukuishi, S., & Tsunemitsu, A. (1990). Inhibitory effect of human plasma and saliva on co-aggregation between *Bacteroides gingivalis* and *Streptococcus mitis*. *J Dent Res*, 69(8), 1476-1479.
60. Goulbourne, P. A., & Ellen, R. P. (1991). Evidence that *Porphyromonas (Bacteroides) gingivalis* fimbriae function in adhesion to *Actinomyces viscosus*. *J Bacteriol*, 173(17), 5266-5274.
61. Kinder, S. A., & Holt, S. C. (1989). Characterization of coaggregation between *Bacteroides gingivalis* T22 and *Fusobacterium nucleatum* T18. *Infect Immun*, 57(11), 3425-3433.

62. Grenier, D. (1992). Demonstration of a bimodal coaggregation reaction between *Porphyromonas gingivalis* and *Treponema denticola*. *Oral Microbiol Immunol*, 7(5), 280-284.
63. Kamaguchi, A., Nakayama, K., Ichiyama, S., Nakamura, R., Watanabe, T., Ohta, M., et al. (2003). Effect of *Porphyromonas gingivalis* vesicles on coaggregation of *Staphylococcus aureus* to oral microorganisms. *Curr Microbiol*, 47(6), 485-491.
64. Slots, J., & Gibbons, R. J. (1978). Attachment of *Bacteroides melaninogenicus* subsp. *asaccharolyticus* to oral surfaces and its possible role in colonization of the mouth and of periodontal pockets. *Infect Immun*, 19(1), 254-264.
65. Takazoe, I., Nakamura, T., & Okuda, K. (1984). Colonization of the subgingival area by *Bacteroides gingivalis*. *J Dent Res*, 63(3), 422-426.
66. Katz, J., Yang, Q. B., Zhang, P., Potempa, J., Travis, J., Michalek, S. M., et al. (2002). Hydrolysis of epithelial junctional proteins by *Porphyromonas gingivalis* gingipains. *Infect Immun*, 70(5), 2512-2518.
67. Holt, S. C., Kesavalu, L., Walker, S., & Genco, C. A. (1999). Virulence factors of *Porphyromonas gingivalis*. *Periodontol 2000*, 20, 168-238.
68. Kobayashi-Sakamoto, M., Isogai, E., & Hirose, K. (2003). *Porphyromonas gingivalis* modulates the production of interleukin 8 and monocyte chemotactic protein 1 in human vascular endothelial cells. *Curr Microbiol*, 46(2), 109-114.
69. Fletcher, J., Nair, S., Poole, S., Henderson, B., & Wilson, M. (1998). Cytokine degradation by biofilms of *Porphyromonas gingivalis*. *Curr Microbiol*, 36(4), 216-219.
70. Reddi, D., Bostanci, N., Hashim, A., Aduse-Opoku, J., Curtis, M. A., Hughes, F. J., et al. (2008). *Porphyromonas gingivalis* regulates the RANKL-OPG system in bone marrow stromal cells. *Microbes Infect*, 10(14-15), 1459-1468.
71. Zambon, J., & Haraszthy. (1995). VI. The laboratory diagnosis of periodontal infections. *Periodontol 2000*, 7, 69-82.
72. Sharwani, A., Jerjes, W., Salih, V., MacRobert, A. J., El-Maaytah, M., Khalil, H. S., et al. (2006). Fluorescence spectroscopy combined with 5-aminolevulinic acid-induced protoporphyrin IX fluorescence in detecting oral premalignancy. *J Photochem Photobiol B*, 83(1), 27-33.

73. Soukos, N. S., & Goodson, J. M. (2011). Photodynamic therapy in the control of oral biofilms. *Periodontol 2000*, 55(1), 143-166.
74. Jori, G., Fabris, C., Soncin, M., Ferro, S., Coppellotti, O., Dei, D., et al. (2006). Photodynamic therapy in the treatment of microbial infections: basic principles and perspective applications. *Lasers Surg Med*, 38(5), 468-481.
75. Andersen, R., Loebel, N., Hammond, D., & Wilson, M. (2007). Treatment of periodontal disease by photodisinfection compared to scaling and root planing. *J Clin Dent*, 18(2), 34-38.
76. Dahl, T. A., Midden, W. R., & Hartman, P. E. (1987). Pure singlet oxygen cytotoxicity for bacteria. *Photochem Photobiol*, 46(3), 345-352.
77. Demidova, T. N., & Hamblin, M. R. (2005). Effect of cell-photosensitizer binding and cell density on microbial photoinactivation. *Antimicrob Agents Chemother*, 49(6), 2329-2335.
78. Lambrechts, P. (1991). Endodontic-periodontic problems. *Rev Belge Med Dent (1984)*, 46(2), 9-20.
79. Jin, M., Lian, S., Ngoh, K., Tet, F., & Brouillard, R. (2003). Analysis and biological activities of anthocyanins. *Phytochemistry*, 64, 923-933.
80. Bruneton, J. (1999). *Pharmacognosy Phytochemistry Medicinal Plants* (2 ed.). [n.p.]: Lavoisier Publishing.
81. นิธิยา รัตนปาณนท์. (2545). เคมีอาหาร. กรุงเทพฯ: สำนักพิมพ์ໂອເດີນສໂຕຣ໌.
82. Tran, J., & Olmsted III, J. (1993). Intramolecular triplet-triplet energy transfer from xanthene dyes to an anthryl substituent. *J Photochem Photobiol A Chem*, 71, 45-49.
83. Conlon, K. A., & Berrios, M. (2001). Light-induced proteolysis of myosin heavy chain by Rose Bengal-conjugated antibody complexes. *J Photochem Photobiol B*, 65(1), 22-28.
84. Yoshio, H., Masato, O., Yoshiteru, K., Noboru, K., Taketo, S., Yasuhiro, S., et al. (1988). The Promoting Effects of Food Dyes, Erythrosine (Red 3) and Rose Bengal B (Red 105), on Thyroid Tumors in Partially Thyroidectomized N-Bis(2-hydroxypropyl)-nitrosamine-treated Rats. *Jpn. J. Cancer Res*, 79, 314-319.

85. Gray, C. H., Lim, C. K., & Nicholson, D. C. (1977). The differentiation of the porphyrias by means of high pressure liquid chromatography. *Clin Chim Acta*, 77(2), 167-178.
86. Roper, J. M., Raux, E., Brindley, A. A., Schubert, H. L., Gharbia, S. E., Shah, H. N., et al. (2000). The enigma of cobalamin (Vitamin B12) biosynthesis in *Porphyromonas gingivalis*. Identification and characterization of a functional corrin pathway. *J Biol Chem*, 275(51), 40316-40323.
87. Philipp-Dormston, W. K., & Doss, M. (1973). Comparison of porphyrin and heme biosynthesis in various heterotrophic bacteria. *Enzyme*, 16(1), 57-64.
88. de Paolis, A., Chandra, S., Charalambides, A. A., Bonnett, R., & Magnus, I. A. (1985). The effect on photohaemolysis of variation in the structure of the porphyrin photosensitizer. *Biochem J*, 226(3), 757-766.
89. Scaiano, J. C., Aliaga, C., Chrétien, M. N., Frenette, M., Focsaneanu, K. S., & Mikelsons, L. (2005). Fluorescence sensor applications as detectors for DNA damage, free radical formation, and in microlithography. *Pure Appl. Chem.*, 77, 1009-1018.
90. Yuri, N., Vera, V., Antonina, F., & Maksim, O. (2007). Detection of Reactive Oxygen Species Induced by Radiation in Cells Using the Dichlorofluorescein Assay. *Radiation Research*, 168, 226-232.
91. Suzuki, N., Hatake, H., Mizumoto, I., & Nomoto, T. (1998). Antioxidative activity against active oxygen species. *Recent res. Devel. Agricultural & Biological Chem*, 2, 283-292.
92. Jimenez, A. M., & Navas, M. J. (2002). Chemiluminescence Methods (Present and Future). *Fasc*, 53, 64-75.
93. Blake, D., & Winyard, P. G. (1995). *Immunopharmacology of Free Radical Species*. Harcourt Brace and Company. [n.p.].
94. Coral, L., & Michael, B. (2001). Detection of Reactive Oxygen and Reactive Nitrogen Species in Skeletal Muscle. *MICROSCOPY RESEARCH AND TECHNIQUE*, 55, 236-248.

95. นพวรรณ ภูมานาดา. (2544). การใช้เทคนิคการสปินแทรป (Spin Trapping) โดยการตรวจวัดด้วย Electron Spin Resonance (ESR) เพื่อศึกษาอนุមูลอิสระในทางชีววิทยาการแพทย์. วารสารศูนย์เครื่องมือวิจัยวิทยาศาสตร์และเทคโนโลยี, 9, 18-28.
96. Togashi, H., Shinzawa, H., Matsuo, T., Takeda, Y., Takahashi, T., Aoyama, M., et al. (2000). Analysis of hepatic oxidative stress status by electron spin resonance spectroscopy and imaging. *Free Radic Biol Med*, 28(6), 846-853.
97. Binxing, L., Faisal, A., & Paul, S. (2010). Studies on the singlet oxygen scavenging mechanism of human macular pigment. *Archives of Biochemistry and Biophysics*, 504, 56-60.
98. Fufezana, C., Rutherford, A. W., & Krieger-Liszakay, A. (2002). Singlet oxygen production in herbicide-treated photosystem II. *FEBS Letters*, 532, 407-410.
99. Hunt, D. E., Jones, J. V., & Dowell, V. R., Jr. (1986). Selective medium for the isolation of *Bacteroides gingivalis*. *J Clin Microbiol*, 23(3), 441-445.
100. Ashimoto, A., Chen, C., Bakker, I., & Slots, J. (1996). Polymerase chain reaction detection of 8 putative periodontal pathogens in subgingival plaque of gingivitis and advanced periodontitis lesions. *Oral Microbiol Immunol*, 11(4), 266-273.
101. Socransky, S. S., Haffajee, A. D., Cugini, M. A., Smith, C., & Kent, R. L., Jr. (1998). Microbial complexes in subgingival plaque. *J Clin Periodontol*, 25(2), 134-144.
102. Socransky, S. S., & Haffajee, A. D. (2005). Periodontal microbial ecology. *Periodontol 2000*, 38, 135-187.
103. Malik, R., Manocha, A., & Suresh, D. K. (2010). Photodynamic therapy--a strategic review. *Indian J Dent Res*, 21(2), 285-291.
104. Izzo, A. D., & Walsh, J. T. (2004). Light-induced modulation of *Porphyromonas gingivalis* growth. *J Photochem Photobiol B*, 77(1-3), 63-69.
105. Labrecque, J., Bodet, C., Chandad, F., & Grenier, D. (2006). Effects of a high-molecular-weight cranberry fraction on growth, biofilm formation and adherence of *Porphyromonas gingivalis*. *J Antimicrob Chemother*, 58(2), 439-443.

106. La, V. D., Howell, A. B., & Grenier, D. (2010). Anti-*Porphyromonas gingivalis* and anti-inflammatory activities of A-type cranberry proanthocyanidins. *Antimicrob Agents Chemother*, 54(5), 1778-1784.
107. Santos, J., La, V. D., Bergeron, C., & Grenier, D. (2011). Inhibition of host- and bacteria-derived proteinases by natural anthocyanins. *J Periodontal Res.*
108. Chen, Z. Y., Chan, P. T., Ho, K. Y., Fung, K. P., & Wang, J. (1996). Antioxidant activity of natural flavonoids is governed by number and location of their aromatic hydroxyl groups. *Chem Phys Lipids*, 79(2), 157-163.
109. Rice-Evans, C. A., Miller, N. J., & Paganga, G. (1996). Structure-antioxidant activity relationships of flavonoids and phenolic acids. *Free Radic Biol Med*, 20(7), 933-956.
110. Martinez-Cayuela, M. (1995). Oxygen free radicals and human disease. *Biochimie*, 77(3), 147-161.
111. Chapple, I. L., & Matthews, J. B. (2007). The role of reactive oxygen and antioxidant species in periodontal tissue destruction. *Periodontol 2000*, 43, 160-232.
112. Metcalf, D., Robinson, C., Devine, D., & Wood, S. (2006). Enhancement of erythrosine-mediated photodynamic therapy of *Streptococcus mutans* biofilms by light fractionation. *J Antimicrob Chemother*, 58(1), 190-192.
113. Suwannakul, S., Whawell, S. A., Douglas, C. W. I., & Wood, S. (2008). *Effect of photodynamic therapy on intra-cellular Porphyromonas gingivalis*. Paper presented at the the PEF IADR 2008 London, United Kingdom.
114. Goulart Rde, C., Thedei, G., Jr., Souza, S. L., Tedesco, A. C., & Ciancaglini, P. (2010). Comparative study of methylene blue and erythrosine dyes employed in photodynamic therapy for inactivation of planktonic and biofilm-cultivated *Aggregatibacter actinomycetemcomitans*. *Photomed Laser Surg*, 28 Suppl 1, S85-90.
115. Allaker, R. P., & Douglas, C. W. (2009). Novel anti-microbial therapies for dental plaque-related diseases. *Int J Antimicrob Agents*, 33(1), 8-13.

**ภาคผนวก**

ภาคผนวก ก  
หนังสือรับรองจริยธรรมในมุขย์



บันทึกข้อความ

ผู้ว่าราชการคุณ คณะกรรมการจัดธรรมการวิจัยในมุขย์มหาวิทยาลัยขอนแก่น โทร. (043)366616,(043)366617

ที่ ศช 0514.1.27/ ๑๖๘

วันที่ ๓๑ พ.ศ. ๒๕๕๓

เรื่อง ขอส่งเอกสาร

เรียน รองศาสตราจารย์ ดร. กำรุ มงคล

ตามที่ท่านได้ส่งไฟล์เอกสารวิจัยมาเพื่อขอรับการพิจารณาจัดธรรมการวิจัยในมุขย์มหาวิทยาลัยขอนแก่นนั้น บัดนี้ ที่ประชุมคณะกรรมการจัดธรรมการวิจัยในมุขย์มหาวิทยาลัยขอนแก่น ได้ประเมินและมีมติรับรองจัดธรรมการวิจัยในมุขย์สำหรับโครงการวิจัยด้าน จึงโปรดขอส่งเอกสารดังต่อไปนี้ เพื่อเป็นหลักฐานและด้อมฎีกามข้อกำหนดโดยเคร่งครัด และเพื่อเป็นการป้องกันการลักลอบใช้ประโยชน์ของอาจารย์มัคร/ผู้ป่วยผู้เข้าร่วมโครงการวิจัย

1. ในรับรองจัดธรรมการวิจัยในมุขย์  ภาษาไทย  ภาษาอังกฤษ
2. ข้อกำหนดเรื่องหน้าที่และความรับผิดชอบของผู้วิจัยในโครงการที่ได้รับการรับรองจัดธรรมการวิจัยในมุขย์

จึงเรียนมาเพื่อโปรดทราบ

(รองศาสตราจารย์จิราภรณ์ ศรีนัคคินทร์)

รองประธานคณะกรรมการจัดธรรมการวิจัยในมุขย์มหาวิทยาลัยขอนแก่น



## **KHON KAEN UNIVERSITY**

**This is to certify that**

**The Project Entitled:** Efficiencies of anthocyanin(cyanidin), coproporphyrin and erythrosine for generating reactive oxygen species and killing of *Porphyromonas gingivalis* in biofilms by photodynamic therapy in vitro. A pilot study

- Investigators:**
1. Associate Professor Aroon Teerakapong  
Faculty of Dentistry, Khon Kaen University
  2. Assistant Professor Somkiat Luengpailin  
Faculty of Dentistry, Khon Kaen University
  3. Assistant Professor Supattra Porasuphatana  
Faculty of Pharmaceutical Sciences, Khon Kaen University
  4. Assistant Professor Noppawan Phumala Morales  
Faculty of Sciences, Mahidol University
  5. Permaratana Sareeratawin  
Faculty of Dentistry, Khon Kaen University

**Documents Acceptance:**

1. KKUEC Application form ,version 1.1 dated 9 February 2010
2. Full Protocol, Thai version 1.2 dated 1 April 2010
3. Subject Information Sheet, version 1.1 dated 9 February 2010
4. Informed Consent Form, version 1.0, dated 6 January 2010
5. Case Report Form, version 1.0 dated 6 January 2010
6. Investigator's Curriculum Vitae

have been reviewed by the the Khon Kaen University Ethics Committee for Human Research based on the Declaration of Helsinki and the ICH Good Clinical Practice Guidelines.

Record No. 4.2.02: 02/2010

**Reference No. HE522351**

**Office:** Princess Mother Memorial Building, 17 th Floor , Room#1703,1704,1733

**Institutional Review Board Number:** IRB00001189

**Faculty of Medicine, Khon Kaen University, Khon Kaen, Thailand**

**Federal wide Assurance:** FWA00003418

Tel. & Fax: +66-43-366616 ,+66-43-366617

Date of Approval : 27 April 2010

Date of Expire : 25 January 2011



(Associate Professor Wongwiwat Tassaneeyakul)

Chairman of the Khon Kaen University Ethics Committee for Human Research

Record No. 4.2.02: 02/2010

Reference No. HE522351

Office: Princess Mother Memorial Building, 17th Floor, Room#1703,1704,1733

Institutional Review Board Number; IRB00001189

Faculty of Medicine, Khon Kaen University, Khon Kaen, Thailand

Federal wide Assurance; FWA00003418

Tel. & Fax: +66-43-366616 ,+66-43-366617



มหาวิทยาลัยขอนแก่น  
หนังสือฉบับนี้ให้ไว้เพื่อแสดงว่า

**โครงการวิจัยเรื่อง :** การศึกษาน้ำร่องประถิกภาพของแอนไซยานิน(ไซyanin) โคโปรดอร์ไฟริน กับอีริโกรินในการสร้างเรียกคือฟองออกซิเจนสปีชีส์และการฆ่า พอย์ไฟโรในแนส จิงจิวัลส์ ในในไอพิลัม โดยการนำบัดดี้ช์ไฟโตไดนาไมก์ส์ในหลอดทดลอง

Efficiencies of anthocyanin(cyanidin), coproporphyrin and erythrosine for generating reactive oxygen species and killing of *Porphyromonas gingivalis* in biofilms by photodynamic therapy in vitro. A pilot study

**ผู้จัด:**

1. รองศาสตราจารย์อธุณ ทิรമพงศ์  
คณะทันตแพทยศาสตร์ มหาวิทยาลัยขอนแก่น
2. ผู้ช่วยศาสตราจารย์สมเกียรติ เหลืองไพรินทร์  
คณะทันตแพทยศาสตร์ มหาวิทยาลัยขอนแก่น
3. ผู้ช่วยศาสตราจารย์สุพัตรา ปรกุพัฒนา<sup>\*</sup>  
คณะเภสัชศาสตร์ มหาวิทยาลัยขอนแก่น
4. ผู้ช่วยศาสตราจารย์นพวรรณ ภู่มาดา มอร์เลส  
คณะวิทยาศาสตร์ มหาวิทยาลัยหอด
5. นายเพิ่มรัตน์ สาระเทวน  
คณะทันตแพทยศาสตร์ มหาวิทยาลัยขอนแก่น

**สำหรับเอกสาร:**

1. แบบเสนอเพื่อขอรับการพิจารณาดำเนินวิธกรรมของการวิจัยในมนุษย์ เวอร์ชั่น 1.1 ฉบับวันที่ 9 กุมภาพันธ์ 2553
2. โครงการวิจัยฉบับสมบูรณ์ ฉบับภาษาไทย เวอร์ชั่น 1.2 ฉบับวันที่ 1 เมษายน 2553
3. แบบคำขอแข่งอาสาสมัคร เวอร์ชั่น 1.1 ฉบับวันที่ 9 กุมภาพันธ์ 2553
4. แบบฟอร์มข้อมูลอาสาสมัคร เวอร์ชั่น 1.0 ฉบับวันที่ 6 มกราคม 2553
5. แบบบันทึกข้อมูล เวอร์ชั่น 1.0 ฉบับวันที่ 6 มกราคม 2553
6. ประวัติผู้วิจัย

ลำดับที่ : 4.2.02 : 02/2553

เลขที่: HE522351

วันหมดอายุ : 25 มกราคม 2554

คณะกรรมการวิจัยและนวัตกรรมการวิจัยในมนุษย์มหาวิทยาลัยขอนแก่น

Institutional Review Board Number; IRB00001189

สำนักงาน: อาคารสมเด็จพระศรีนครินทร์ บรมราชานุสรณ์ อุบลราชธานี อุบลราชธานี (ชั้น 17)

Federal Wide Assurance; FWA00003418

โทร. (043) 366616, (043) 366617 โทรสาร (043) 3666617

ได้ผ่านการรับรองจากคณะกรรมการจิยธรรมการวิจัยในมนุษย์มหาวิทยาลัยขอนแก่น โดยยึดหลักเกณฑ์  
ตามคำประกาศเซลซิงกิ (Declaration of Helsinki) และแนวทางการปฏิบัติการวิจัยทางคลินิกที่ดี (ICH GCP)

ให้ไว้ ณ วันที่ 27 เมษายน พ.ศ. 2553

(รองศาสตราจารย์วงศ์วิวัฒน์ ทัศนีบุญ)

ประธานคณะกรรมการจิยธรรมการวิจัยในมนุษย์มหาวิทยาลัยขอนแก่น

ลำดับที่ : 4.2.02 : 02/2553

เลขที่: HES22351

วันหมดอายุ : 25 มกราคม 2554

คณะกรรมการจิยธรรมการวิจัยในมนุษย์มหาวิทยาลัยขอนแก่น

Institutional Review Board Number; IRB00001189

สำนักงาน: อาคารabenเพื่อพระคริสต์วินท์รา บรรหารชานนี อุบลราชธานี (ชั้น 17)

Federal Wide Assurance; FWA00003418

โทร. (043) 366616, (043) 366617 โทรสาร (043) 3666617

ภาคผนวก ข  
คำชี้แจงสำหรับผู้เข้าร่วมโครงการวิจัย

มหาวิทยาลัยเทคโนโลยี  
รัตนเรืองสานหน้า  
บันทึก 2.7 [ฉบับ] 2553

## แผนคำชี้แจงอาสาสมัคร

**ชื่อโครงการวิจัย** (ภาษาไทย) การศึกษาเรื่องของประเพณีทางพงของแองโกลไชยานิน(ไชยานินดิน) โคปีrhoห์เพริน กับอีร์โกรุน  
ในการสร้างรัฐชาติฟื้นอกรักษาสเปรซ์และการร่า พอร์ไฟโรนแมส จังจิตาลีส ในเบโซฟล์มโดย  
การนำบัดดี้ไวไฟไดนาไมก์ในหลอดทดลอง

## หัวหน้าโครงการวิจัย: รศ.ทพ.อรุณ ทิรฆพงศ์

ภาควิชาปรัชญา คณะทันตแพทยศาสตร์ มหาวิทยาลัยขอนแก่น

ผู้ร่วมวิจัย: รศ.ดร.สมเกียรติ เหลืองไพรินทร์

ภาควิชาชีววิทยาซึ่งปัก คณานุดแพทยศาสตร์ มหาวิทยาลัยขอนแก่น

អគ្គនាយកដ្ឋាន ព្រះរាជាណាចក្រកម្ពុជា

ภาควิชาพิณวิทยา คณะเภสัชศาสตร์ มหาวิทยาลัยขอนแก่น

អគ្គនាយកដ្ឋាន រាជធានីភ្នំពេញ

ภาควิชาเคมีวิทยา คณะวิทยาศาสตร์ มหาวิทยาลัยขอนแก่น

นายเพิ่มรัตนะ ศรีระเกวิน

ภาควิชาปรัชญา คณะทันตแพทยศาสตร์ มหาวิทยาลัยขอนแก่น



## บทนำ

## วัสดุประสงค์ของกราฟิก

- เพื่อเปรียบเทียบประสิทธิภาพในการด้านเชื้อพอร์ไฟไว้มีนเคนท์ จังจิวะเติส ในในโอดีต์ระหัวงการใช้แอนไทชาโนน อิริโกรชิน กับโคโน่ปีกพอร์ไฟรินในขบวนการไฟใต้โคนามิกส์
  - เพื่อเปรียบเทียบประสิทธิภาพในการสร้างเรือකฟฟ์ออดจิเงนท์ปีชีร์รังหัวงการใช้ แอนไทชาโนน อิริโกรชิน กับโคโน่ปีกพอร์ไฟรินในขบวนการไฟใต้โคนามิกส์

**การเข้าร่วมโครงการวิจัยของท่านเป็นไปด้วยความพึงครั้ง หากไม่ต้องการเข้าร่วมฯ ไม่มีผลกระทบใดๆ ทั้งในปัจจุบันและอนาคตด้านการรักษาพยาบาล และถอนตัวออกจากโครงการได้ทุกเวลาโดยไม่มีผลกระทบใดๆ อีก**

ขั้นตอนการแก้ไขตัวหากร่วมเข้าร่วมโครงการวิจัย

ผู้ที่รับผิดชอบตัดสินใจเข้าร่วมในการวิจัยและเห็นถึงเป็นหลักฐานลงในแบบขั้นตอนอาสาสมัครแล้ว ท่านจะได้รับค่าแนะนำจากผู้วิจัยเพื่อให้เข้าร่วมการวิจัย

- ท่าการเก็บเรือจุลินทรีในร่องเหวือก โดยจะใช้แท่นกระถาง 2 แท่ง ไปส่องร่องเหวือกและเคลื่อนที่ไปตามผิวน้ำ
  - ท่าการเก็บน้ำลายกระทำด้วยเก็บ้ำพืชและบัวน้ำลายลงในถังเก็บประจากเชื้อไวรัส 40 มิลลิลิตร
  - ทำความสะอาดชุดของปากห้องรับประทานอาหาร ได้ตามปกติหลังการเก็บน้ำลาย
  - เก็บเรือจุลินทรีและนำลากเบกอดจากการทดลอง 1 ครั้ง
  - หากท่านพบความผิดปกติหรือมีปัญหาอุบัติเหตุ รับประทานยาปฏิชีวนะหรือยาใดๆ ที่มีผลต่อการไหลของน้ำลาย โปรดแจ้งแก่ผู้จัดท่านที่

#### ความเสี่ยงและ/หรือความไม่สงบที่อาจเกิดขึ้น

งานวิจัยนี้ไม่ก่อให้เกิดอันตรายแก่ร่างกายของท่าน หากท่านพิวหรือกระแทกหน้า อนุญาตให้รับประทานน้ำหรือน้ำหวานได้เล็กน้อย

ประโภชันท์อ้างมาว่าจะได้รับท่านจะได้รับค่าตอบแทนในการเก็บเรื่องข่าวและน้ำลายเป็นจำนวน 300 บาท

ທ່ານຮັກໝາວຂວາງລັບ ດາວໂຫຼນເກີດໜຶ້ນຂອນຄ່ອງໆ ຈະເຖິງວ້າມີເຂົ້າໜ່ານຈະດູນເກີນເປົ້າເຄວນລັບນີ້ແລະຈະໄຟໄ່ໄວ້ການຊ່ວຍໜ້າປຸນສື່ພິບພັນຮົດ

การพัฒนา จ. น้ำจืดและเขื่อนอิฐที่มีประสิทธิภาพในภาคใต้ของประเทศไทย

ສູງເປົ້າຕ່າງໆໄດ້ກຳອະນຸມາດວິທີການກົດລົງທຶນຂອງພົບມືກົດລົງທຶນ

ជាកិច្ចការនិងការបង្កើតរបស់ខ្លួន ដូចជាការបង្កើតរបស់ខ្លួន និងការបង្កើតរបស់ខ្លួន

123 ถนนนิตรราษฎร์ ถ.สีลม, กรุงเทพมหานคร 10000

ໄມຣສັນຫົວໜ້າ 086 6335605

แหล่งที่มา: สำนักงานคณะกรรมการการศึกษาขั้นพื้นฐาน

มหาวิทยาลัยอนันดาภิเษก ชั้น 17 อาคารศิริเจริญศรีกิรินทร์บรรณราชนนี ถนนเพชรบุศร์ โทร.043-366616, 366617 เมือง  
กาฬสินธุ์ 66616, 66617 โทรศัพท์ 043-36617)

หมายเหตุ: ๑. ผู้จัดทำรวมกันเป็นหน่วยงานที่มีบทบาทในกระบวนการนักเรียน ผู้สอนและครุภัณฑ์ของกระบวนการนักเรียน อย่างไร ๒. ขอ ให้ความสำคัญเรื่องการตั้งใจอย่างจริงจังด้วย

2. เมื่อการวิจัยทางคณิติก (เพื่อการรักษาหรือไม่กีดกัน) เกี่ยวข้องกับอาสาสมัครซึ่งต้องขอความยินยอมจาก ผู้แทนโดยชอบธรรม (เช่น ผู้พัวพันหรือผู้ป่วยไข้กระเพราต้องได้รับการอนุมัติ) อาสาสมัครควรให้รับการอธิบายเพื่อช่วยแก้การวิจัย ด้วยวิธีที่เหมาะสมที่อาสาสมัครเข้าใจได้ และต้องเข้าใจถูกต้องว่าอาสาสมัครควรยอมรับและลงนามที่ใบ宣言เพื่อยืนยันความเข้าใจของตน

## กิจกรรมการใช้ชีวิตร่วมกันในบ้าน

มหาวิทยาลัยราชภัฏเก่า

ຂໍបຽນຕຳແນກ

**ภาคผนวก ค**  
**แบบฟอร์มยินยอมอาสาสมัคร**

นหภกขยอจขตเนกน  
รับรองดูแล  
วันที่ 27 เม.ย. 2553

แบบบันทึกขออาสาสมัคร

ข้าพเจ้า (นาย, นาง, นางสาว)..... นามสกุล..... อายุ..... ปี  
อยู่บ้านเลขที่..... หมู่ที่..... ตำบล..... อำเภอ..... จังหวัด.....

ได้รับฟังคำอธิบายของ..... (ชื่อผู้ให้ข้อมูล)

เกี่ยวกับการเป็นอาสาสมัคร โครงการวิจัยเรื่อง "การศึกษาเรื่องประเพณีภักดีของแขกในไทยบ้านนน(ไชยาบันนิ) โคโนะ ราหริไฟริน กับอิทธิพลเชิงทางการเมืองและภาระทางเศรษฐกิจและการดำเนินการ ห้องเรียนในแผนกวิชาศิลป์ ในโรงเรียนโดย การบ้านบัวศรีฯ ใจกลางกรุงเทพฯ และได้รับทราบถึงรายละเอียดของโครงการวิจัยเกี่ยวกับ

- วัสดุประสงค์และระยะเวลาที่ทำการวิจัย
- ขั้นตอนและวิธีการปฏิบัติที่ข้าพเจ้าต้องปฏิบัติ
- ผลประโยชน์ที่จะได้รับ
- ผลข้างเคียงที่อาจเกิดขึ้นจากการเข้าร่วมโครงการ

ข้าพเจ้า สำมารถระบุว่าจากการศึกษานี้เมื่อได้รับการสอน แล้วหากเกิดมิจฉาชีวิตร้ายขึ้น ข้าพเจ้าจะรายงานให้กับคณะกรรมการห้องเรียน รุ่นน้ำที่ที่กำลังปฏิบัติงานอยู่ในขณะนั้นทราบทันที

ข้าพเจ้าได้อ่านและ ร่างคำขอขึ้นมาด้วยตัวเองแล้ว จึงได้ลงนามบันทึกเป็นอาสาสมัครของโครงการ เหตุจังกัด่าว

ลงมือขออาสาสมัคร .....  
(.....)

ลงมือขอผู้ให้ข้อมูล .....  
(.....)

พยาน..... (ไม่ใช่ผู้อธิบาย)  
(.....)

วันที่..... เดือน..... พ.ศ.....

ภาคผนวก ง  
แบบฟอร์มบันทึกสภาพภาวะปริทันต์

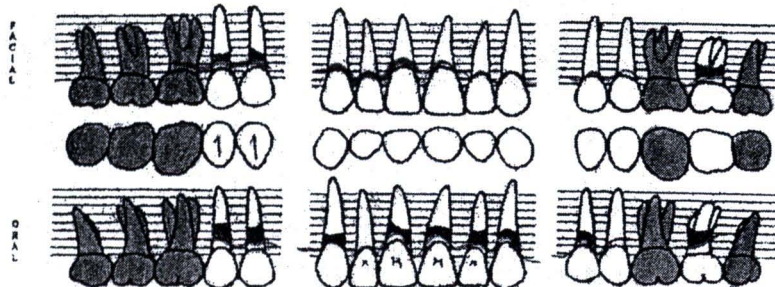
**DEPARTMENT OF PERIODONTOLOGY  
FACULTY OF DENTISTRY KHONKAEN UNIVERSITY**

DOCTOR..... HN..... 404370 .. AGE..... 55 .. SEX..... ♂  
 INITIAL     PRE-SURGICAL     POST-SURGICAL    DATE..... 6. M.Y. 54.

KG  
BOP/S (+/S)  
CAL  
PD  
GM

KG	6 6 4 4	5 5 6 6 4 4 4 4 4 5 5 6	4 4 5 4 4 4
BOP/S (+/S)	+ + + +	+ + + +	+ +
CAL	4 5 6 4	2 3 2 4 4 4 2 3 2 3 2 3	3 3 4 4 3 4 3 3 2 2
PD	2 2 4 4 3	2 3 3 2 2 3 2 3 3 3 3 3	3 3 2 2 5 3
GM	2 2 1 2 1	0 0 0 0 2 2 1 0 1 0 0 0	0 0 1 1 1 1 1 1

**KEY**  
Horizontal lines = 2mm.  
DI = Dental Implant  
BOP = Bleeding On  
Probing  
'S' = Suppuration  
CAL = Clinical  
Attachment  
Level  
PD = Probing Depth



GM  
PD  
CAL  
BOP/S (+/S)

KG	3 2 2 2	0 0 0 0 1 0 1 1 1 1 1 0	0 1 2 2 / 0 2 4
BOP/S (+/S)	2 3 4 4	4 3 4 3 2 3 4 4 4 4 4 3 4 3 4	4 3 3 2 / 5 2 3
CAL	2 2 5 6	4 2 3 2 3 2 4 2 5 6 5 4 5 6 4	4 4 3 4 5 4 / 7 4 7
PD	0 0 2 2 3 2 0 0 1 1	6 5 6 5 6 6 6 6 6 6 6 6 6 6	6 5 6 5 6 6 6 6 6 6 6 6 6 6

KG  
BOP/S (+/S)PD  
CAL  
PD  
GM

①	②	③	④	⑤	⑥	⑦	⑧
6 6 5 4 5 4 4 4 4 3 4	4 3 3 4 4 2 2 2 2 2 3	3 4 3 3 3	5 6 5 3				
+ + + + + + + + + +	+ + + + + + + + + +	+ + + + + + + +					
7 7 7 9 9 9 4 5 6 6	1 0 1 3 5 8 8 8 8 8 8 8 8 8 8 8	6 4 3 5 5 5	4 3 6 3 3				
5 5 5 3 3 3 5 5 5 5 5 5	1 2 1 2 2 2 2 2 2 2 2 2 2 2 2 2	4 2 4 2 1	4 3 5 5 3 3				
0 0 2 2 3 2 0 0 1 1	6 5 6 5 6 6 6 6 6 6 6 6 6 6 6 6	6 5 6 5 6 6 6 6 6 6 6 6 6 6 6 6	0 0 1 0				

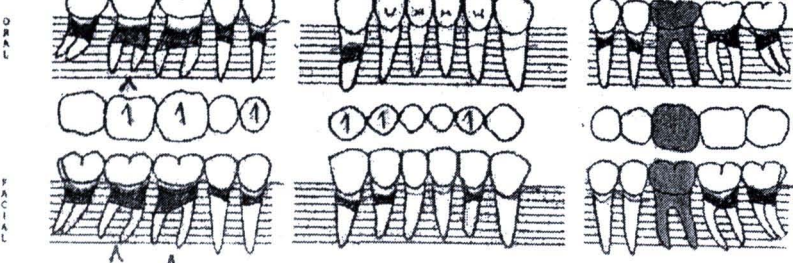
Furcation involvement  
(Hamp, 1975)

Degree I ▲  
Degree II △  
Degree III ▲

Record on Occlusal Outlines

- Mobility(1,2,3)  
(Miller, 1950)

- Poor contact 3  
- Open contact 11  
- Food impaction ↓



GM  
PD  
CAL  
BOP/S (+/S)  
KG

1 2 10 0 1 1 0 0 - 2	2 2 3 3 2 2 - 3 - 2 1 - 1 0	1 3 1 2 1 2 / 0 2 0 0
4 4 5 5 7 7 6 4 3 4 4 3 3	2 2 3 3 2 2 2 3 1 3 2 2	3 2 2 2 / 3 4 4 4
5 6 5 6 7 8 7 4 3 2 4 5 3 3	4 4 6 6 5 5 4 5 4 4 5 3 1 2 2	4 5 4 3 4 4 / 5 4 4 4
4 4 4 4 4 4 4 4 4 4 4 4 4 4 4	4 4 4 4 4 4 4 4 4 4 4 4 4 4 4	3 3 3 3 / 3 5 5 2

ภาคผนวก จ  
ภาพถ่ายรังสีภายในช่องปากอาสาสมัคร



ภาพที่ 40 แสดงภาพรังสีในช่องปากอาสาสมัคร

ภาคผนวก ฉ  
ตารางข้อมูลวิจัย

ตารางที่ 3 แสดงปริมาณซิงเกลทอกซิเจนเมื่อใช้อีริโตรซิน ณ เวลาต่างๆของการฉายแสง

Erythrosine 22 μM	ปริมาณ Singlet oxygen (AU)				
เวลา (นาที)	ตัวอย่างที่ 1	ตัวอย่างที่ 2	ตัวอย่างที่ 3	Mean	SD
0	0	0	0	0	0
0.5	-114477	-9549	-25079	-49702	56632
1.5	-5591	905	-19838	-8175	10610
3	129033	121430	102737	117733	13532
4	183297	155345	144709	161117	19931
5	220204	207634	172625	200154	24656

ตารางที่ 4 แสดงปริมาณซิงเกลทอกซิเจนเมื่อใช้แอนโทไซยานิน ณ เวลาต่างๆของการฉายแสง

Anthocyanin 22 μM	ปริมาณ Singlet oxygen (AU)				
เวลา (นาที)	ตัวอย่างที่ 1	ตัวอย่างที่ 2	ตัวอย่างที่ 3	Mean	SD
0	0	0	0	0	0
0.5	11506	-9166	12192	4844	12138
1.5	30566	-10520	19631	13226	21279
3	52271	-10051	14223	18814	31414
4	74364	-20144	16175	23465	47674
5	118923	-18526	10830	37076	72386

ตารางที่ 5 แสดงปริมาณซิงเกลต์ออกซิเจนเมื่อใช้โคโปรดอร์ไฟริน ณ เวลาต่างๆของการฉายแสง

Coproporphyrin 22 μM	ปริมาณ Singlet oxygen (AU)				
เวลา (นาที)	ตัวอย่างที่ 1	ตัวอย่างที่ 2	ตัวอย่างที่ 3	Mean	SD
0	0	0	0	0	0
0.5	201835	8005	-5520	68107	116009
1.5	388328	136323	88120	204257	161222
3	446623	174599	142586	254603	167063
4	454372	188528	179501	274134	156156
5	459007	196225	180490	278574	156457

ตารางที่ 6 แสดงปริมาณซิงเกลต์ออกซิเจนเมื่อใช้อีริโตรซินร่วมกับโคโปรดอร์ไฟริน ณ เวลาต่างๆ ของการฉายแสง

Erythrosine 22 μM + Coproporphyrin 22 μM	ปริมาณ Singlet oxygen (AU)				
เวลา (นาที)	ตัวอย่างที่ 1	ตัวอย่างที่ 2	ตัวอย่างที่ 3	Mean	SD
0	0	0	0	0	0
0.5	133650	21970	20888	58836	64793
1.5	362437	148732	152858	221342	122209
3	414537	201818	167009	261121	133997
4	429354	217309	238443	295035	116802
5	455087	237807	253300	315398	121222

ตารางที่ 7 แสดงปริมาณซิงเกลทอกซิเจนเมื่อใช้อริโตรเซนร่วมกับแอนโทไซานิน ณ เวลาต่างๆ ของการฉายแสง

Erythrosine 22 μM + Anthocyanin 22 μM	ปริมาณ Singlet oxygen (AU)				
เวลา (นาที)	ตัวอย่างที่ 1	ตัวอย่างที่ 2	ตัวอย่างที่ 3	Mean	SD
0	0	0	0	0	0
0.5	-17681	-9277	0	-8986	8844
1.5	-1837	-38359	301	-13298	21729
3	165477	54722	158008	126069	61901
4	243632	92622	213010	183088	79828
5	301451	140832	232082	224788	80558

ตารางที่ 8 แสดงปริมาณซิงเกลทอกซิเจนเมื่อใช้แอนโทไซานินร่วมกับโคโปรดอร์ไฟริน ณ เวลาต่างๆ ของการฉายแสง

Anthocyanin 22 μM + Coproporphyrin 22 μM	ปริมาณ Singlet oxygen (AU)				
เวลา (นาที)	ตัวอย่างที่ 1	ตัวอย่างที่ 2	ตัวอย่างที่ 3	Mean	SD
0	0	0	0	0	0
0.5	43563	24245	8958	25589	17342
1.5	311188	153842	112490	192507	104840
3	360879	211819	162437	245045	103309
4	372526	230292	200392	267737	91973
5	377792	242925	200727	273815	92486

ตารางที่ 9 แสดงปริมาณความเข้มสัญญาณ DMPO-OH เมื่อใช้อิริโตรเซน ณ เวลาต่างๆ ของ การฉาบแสง

Erythrosine 22 μM	ความเข้มสัญญาณ DMPO-OH (AU)				
เวลา (นาที)	ตัวอย่างที่ 1	ตัวอย่างที่ 2	ตัวอย่างที่ 3	Mean	SD
0.5	-	-	-	-	-
1.5	62519	48609	52688	54605.33	7150.47
3	50253	60575	39531	50119.67	10522.63
4	-	45259	31690	38474.50	9594.73
5	-	-	-	-	-

ตารางที่ 10 แสดงปริมาณความเข้มสัญญาณ DMPO-OH เมื่อใช้โคโปรดอร์ไฟริน ณ เวลาต่างๆ ของการฉาบแสง

Coproporphyrin 22 μM	ความเข้มสัญญาณ DMPO-OH (AU)				
เวลา (นาที)	ตัวอย่างที่ 1	ตัวอย่างที่ 2	ตัวอย่างที่ 3	Mean	SD
0.5	55904	44966	56916	52595	6627
1.5	237300	206400	190900	211533	23622
3	159900	203700	177200	180267	22060
4	121000	172100	145100	146067	25564
5	99260	145100	118900	121087	22998

**ตารางที่ 11** แสดงปริมาณความเข้มสัญญาณ DMPO-OH เมื่อใช้อิริโตรซินร่วมกับโคโปรดอร์ไฟริน ณ เวลาต่างๆของการฉายแสง

Erythrosine 22 $\mu\text{M}$ + Coproporphyrin 22 $\mu\text{M}$	ความเข้มสัญญาณ DMPO-OH (AU)				
เวลา (นาที)	ตัวอย่างที่ 1	ตัวอย่างที่ 2	ตัวอย่างที่ 3	Mean	SD
0.5	57077	98670	116600	90782	30535
1.5	298700	222400	369100	296733	73370
3	145200	174300	294800	204767	79317
4	145200	174300	294800	204767	79317
5	118100	154600	248100	173600	67050

**ตารางที่ 12** แสดงปริมาณความเข้มสัญญาณ DMPO-OH เมื่อใช้อิริโตรซินร่วมกับแอนโทไซyanin ณ เวลาต่างๆของการฉายแสง

Erythrosine 22 $\mu\text{M}$ + Anthocyanin 22 $\mu\text{M}$	ความเข้มสัญญาณ DMPO-OH (AU)				
เวลา (นาที)	ตัวอย่างที่ 1	ตัวอย่างที่ 2	ตัวอย่างที่ 3	Mean	SD
0.5	-	-	-	-	-
1.5	90300	97780	82546	90209	7617
3	107500	106500	95230	103077	6814
4	92200	94280	93400	93293	1044
5	83599	86397	101500	90499	9630

**ตารางที่ 13** แสดงปริมาณความเข้มสัญญาณ DMPO-OH เมื่อใช้แอนโบทไซานินร่วมกับโคโปรดอร์ไฟริน ณ เวลาต่างๆของการฉายแสง

<b>Anthocyanin 22 μM + Coproporphyrin 22 μM</b>		<b>ความเข้มสัญญาณ DMPO-OH (AU)</b>				
<b>เวลา (นาที)</b>		<b>ตัวอย่างที่ 1</b>	<b>ตัวอย่างที่ 2</b>	<b>ตัวอย่างที่ 3</b>	<b>Mean</b>	<b>SD</b>
0.5		69109	85705	60224	71679	12933
1.5		168600	202600	132500	167900	35055
3		91581	218200	131900	147227	64686
4		60529	168700	107100	112109	54259
5		0	129900	97610	113755	22832

ตารางที่ 14 แสดงปริมาณเชื้อพอร์ไฟโตรามีเนส จิงจิวัลิส ที่การเลี้ยงในแผ่นชีวภาพฟัน

วันที่	ปริมาณเชื้อ (cfu/mg)		Mean
	ตัวอย่างที่ 1	ตัวอย่างที่ 2	
1	54000	56000	68625
2	504000	580500	561750
3	567500	772000	662000
4	636500	721500	706625

ตารางที่ 15 แสดงปริมาณเชื้อพอร์ไฟโตรามีเนส จิงจิวัลิส ผ่านกระบวนการไฟโตไคนามิกส์ โดยใช้อิริโตรชินความเข้มข้นต่าง ๆ

กลุ่มตัวอย่าง	ปริมาณเชื้อ (cfu/mg)		Mean	$\log_{10}$ (cfu/mg)
	ตัวอย่างที่ 1	ตัวอย่างที่ 2		
control	1240000	1430000	1475000	6.17
ery 22	785000	635000	821250	5.91
ery88	10000	470000	241250	5.38
ery110	220000	45000	120000	5.06
ery220	110000	20000	56250	4.72
ery440	0	70000	33750	4.53

**ตารางที่ 16** แสดงปริมาณชิงเกลทออกซิเจนเมื่อใช้อีริโตรซิน โคโปรดอร์ไฟริน และแอนโกลไซบานิน ที่ความเข้มข้นต่าง ๆ ของการฉายแสง

กทุ่มทดสอบ	ปริมาณชิงเกลทออกซิเจน (AU) ที่เกิดขึ้นเมื่อฉายแสง ณ เวลาต่าง ๆ (นาที)							
	0	0.5	1.5	3	5	7	10	15
Erythrosine 220 μM	0	752276	1140308	1001458	1499331	2221137	2398086	4089683
	0	-465837	-34615	765257	1068025	1178567	1592583	2774977
	0	401052	420262	641703	1222218	2046347	2026189	2821105
Mean	0	229164	508652	802806	1263191	1815350	2005619	3228588
SD	0	626984	592428	182793	218553	558353	403145	746086
Coproporphyrin 22 μM	0	149013	354811	374670	300380	369121	520081	-131674
	0	-63942	-350035	-643624	-388686	-143505	-614408	-34214
	0	-495828	-101072	-680112	-434336	-746169	-195553	-239540
Mean	0	-136919	-32099	-316355	-174214	-173518	-96627	-135143
SD	0	328556	357449	598724	411644	558250	573678	102707
Coproporphyrin 88 μM	0	62699	-8412	172884	181005	247115	186480	231317
	0	349471	72550	-45013	-124789	-36769	-95458	80330
	0	188438	262216	161214	150049	125212	143639	296315
Mean	0	200203	108785	96362	68755	111853	78220	202654
SD	0	143748	138905	122573	168327	142413	151927	110809

**ตารางที่ 16** แสดงปริมาณซิงเกลทอคซิเจนเมื่อใช้อร์โตรซิน โค โปรดอร์ไฟริน และแอนโบทาไซยานิน ที่ความเข้มข้นต่าง ๆ ของการฉายแสง (ต่อ)

กลุ่มทดลอง	ปริมาณซิงเกลทอคซิเจน (AU) ที่เกิดขึ้นเมื่อฉายแสง ณ เวลาต่าง ๆ (นาที)							
	0	0.5	1.5	3	5	7	10	15
COPROPORPHYRIN 220 µM	0	-546931	-99135	-381477	-134925	-221348	-274096	-11228
	0	219606	-327912	-111584	-145834	-197326	-357870	18904
	0	51316	-5287	-203045	-106898	-351760	-218099	-268932
Mean	0	-92003	-144111	-232035	-129219	-256811	-283355	-87085
SD	0	402865	165948	137262	20085	83101	70344	158203
ANTHOCYANIN 101 µM	0	75002	685427	277131	678336	356747	-119805	-275883
	0	-373999	-550415	-231014	-425676	-621520	-23417	-673722
	0	-390188	-802613	-924094	-394576	-1098600	-1318276	-814819
Mean	0	-229728	-222534	-292659	-47305	-454458	-487166	-588141
SD	0	264028	796364	602980	628616	741917	721374	279475
ANTHOCYANIN 202 µM	0	-236195	185313	-578449	-755577	-307251	-1016302	-689075
	0	-269327	35249	-89995	94642	-368202	-521005	-919625
	0	-244929	389813	-292273	-26455	-218502	-655002	6034
Mean	0	-250150	203458	-320239	-229130	-297985	-730770	-534222
SD	0	17172	177977	245425	459920	75279	256194	481867

ตารางที่ 16 แสดงปริมาณซิงเกลทอกอชิเจนเมื่อใช้อีริโทรูชิน โคโปรดอร์ไฟริน และแอนโทาไซบานิน ที่ความเข้มข้นต่าง ๆ ของการฉายแสง (ต่อ)

กลุ่มทดลอง	ปริมาณซิงเกลทอกอชิเจน(AU)ที่เกิดขึ้นเมื่อฉายแสง ณ เวลาต่าง ๆ (นาที)							
	0	0.5	1.5	3	5	7	10	15
Anthocyanin 303 µM	0	-155747	-144333	-501547	-747963	-843764	-1018451	-875412
	0	99946	-79656	-721184	-224324	-482045	-571577	-1215944
	0	-312108	-162162	-332588	-426862	-481693	-812156	-753144
Mean	0	-122636	-128717	-518440	-466383	-602501	-800728	-948167
SD	0	208013	43413	194848	264047	208940	223656	239825
Erythrosine 220 µM+	0	135096	756153	1042663	1557245	2352365	2667796	4364040
Coproporphyrin 22 µM	0	-392370	110847	628331	1351054	1845572	2862217	4257554
	0	-111875	601774	640539	1270436	1728137	2644463	4205406
Mean	0	-123050	489591	770511	1392912	1975358	2724825	4275667
SD	0	263910	336962	235770	147915	331736	119555	80853
Erythrosine 220 µM+	0	129439	374952	488292	606424	538434	591307	945886
Coproporphyrin 88 µM	0	9947	-148437	-243892	-119305	158086	494591	711950
	0	-209194	-73933	-9724	239517	115417	479172	816725
Mean	0	-23269	50861	78225	242212	270646	521690	824854
SD	0	171743	283133	373931	362872	232891	60781	117180

ตารางที่ 16 แสดงปริมาณซิงเกลทอคซิเจนเมื่อใช้อีริโตรซิน โคโปรดอร์ไฟริน และแอนโทไซยานิน ที่ความเข้มข้นต่าง ๆ ของการฉายแสง (ต่อ)

กลุ่มทดลอง	ปริมาณซิงเกลทอคซิเจน(AU)ที่เกิดขึ้นเมื่อฉายแสง ณ เวลาต่าง ๆ (นาที)							
	0	0.5	1.5	3	5	7	10	15
Erythrosine 220 $\mu\text{M}+$	0	-95519	387174	168605	758686	-64405	92287	787506
	0	314528	1081307	1030014	434623	625297	832982	773006
	0	307095	45044	302548	-172629	241961	297878	780379
Mean	0	175368	504508	500389	340227	267618	407716	780297
SD	0	234624	528002	463532	472779	345566	382368	7250
Erythrosine 220 $\mu\text{M}+$	0	-72600	150334	342639	1156999	1395035	2402635	3974834
	0	427505	829801	957365	1906073	2383586	3036560	4772948
	0	721008	833752	747551	997958	1942819	2439470	4251534
Mean	0	358638	604629	682518	1353677	1907147	2626222	4333105
SD	0	401261	393436	312480	484953	495240	355840	405262
Erythrosine 220 $\mu\text{M}+$	0	-662418	-221455	580119	1186645	1864380	2178131	4828725
	0	278316	-111922	378023	933047	1182055	2043452	4081839
	0	287364	444131	962992	1834233	2163100	3224010	5341643
Mean	0	-32246	36918	640378	1317975	1736512	2481864	4750736
SD	0	545764	356884	297104	464725	502867	646235	633513

ตารางที่ 16 แสดงปริมาณชิงเกลทอกซิเจนเมื่อใช้อีริโตรซิน โคโปรดอร์ไฟริน และแอนโกลไซดานิน ที่ความเข้มข้นต่าง ๆ ของการฉายแสง (ต่อ)

กลุ่มทดลอง	ปริมาณชิงเกลทอกซิเจน (AU) ที่เกิดขึ้นเมื่อฉายแสง ณ เวลาต่าง ๆ (นาที)							
	0	0.5	1.5	3	5	7	10	15
Erythrosine 220 $\mu\text{M}^+$	0	-64609	-811822	-152387	496377	598018	1871548	3360969
Anthocyanin 303 $\mu\text{M}$	0	348092	914609	770227	1216133	1602537	2839468	4022738
Mean	0	62911	72097	320245	902369	1245863	2267759	3692573
SD	0	247433	863960	461724	368635	562005	507264	330887

ตารางที่ 17 แสดงปริมาณรีแอคทีฟออกซิเจนสปีชีส์เมื่อใช้อิริโตรซิน โคโปรดอร์ไฟริน และแอนโทไซยานิน ที่ความเข้มข้นต่าง ๆ ของการฉายแสง

กลุ่มทดลอง	ปริมาณรีแอคทีฟออกซิเจนสปีชีส์ (AU) ที่เกิดขึ้นเมื่อฉายแสง ณ เวลาต่าง ๆ (นาที)							
	0	0.5	1.5	3	5	7	10	15
Erythrosine 220 µM	0	37260	33366	28342	26711	24373	27921	25208
	0	37590	33804	33060	27387	23805	29641	25265
	0	43071	33676	31050	28429	30664	28650	26512
Mean	0	39307	33615	30817	27509	26281	28737	25662
SD	0	3264	225	2368	865	3807	863	737
Coproporphyrin 22 µM	0	0	0	0	46810	50739	63252	76594
	0	0	0	0	39701	48438	57771	71755
	0	0	0	0	46448	49603	61831	79152
Mean	0	0	0	0	44320	49593	60951	75834
SD	0	0	0	0	4004	1151	2844	3757
Coproporphyrin 88 µM	0	41200	52001	59081	70598	79463	83767	92570
	0	43415	54979	63824	73204	82203	89510	100717
	0	41151	51377	62369	71079	76544	88677	93000
Mean	0	41922	52786	61758	71627	79403	87318	95429
SD	0	1293	1925	2430	1387	2830	3103	4585

ตารางที่ 17 แสดงปริมาณรีแอคทีฟออกซิเจนสปีชีส์เมื่อใช้อิริโตรเซน โคลีโปรดอร์ไฟริน และแอนโกลไชyanin ที่ความเข้มข้นต่าง ๆ ของยาจายแสง (ต่อ)

ตารางที่ 17 แสดงปริมาณรีแอคทีฟออกซิเจนสปีชีส์เมื่อใช้อิริโตรเซน โคโปรดอร์ไฟริน และแอนโทไซยานิน ที่ความเข้มข้นต่าง ๆ ของการฉายแสง (ต่อ)

ตารางที่ 17 แสดงปริมาณรีแอคทีฟออกซิเจนสปีชีส์เมื่อใช้อิหริโตรเซน โคโปรดอร์ไฟริน และแอนโทไซยานิน ที่ความเข้มข้นต่าง ๆ ของการฉายแสง (ต่อ)

ตารางที่ 17 แสดงปริมาณรีแอคทีฟออกซิเจนสปีชีสเมื่อใช้อิฐไทรเซน โคโปรดอร์ไฟริน และแอนโกลไซดานิน ที่ความเข้มข้นต่าง ๆ ของการฉายแสง (ต่อ)

ตารางที่ 18 แสดงปริมาณเชื้อพาร์พโกร์โนเมต จิงจิวัติส์เมื่อผ่านกระบวนการไฟฟ้าในน้ำ cfu/mg

ตัวอย่างที่	ปริมาณเชื้อพาร์พโกร์โนเมต จิงจิวัติส์ในแหล่งกำเนิด mg/g					Ant 101 μM
	Control	Ery 220 μM	Cop 22 μM	Cop 88 μM	Cop 220 μM	
1	1333333	70833	1358333	1305000	1293333	1376667
2	1408667	21333	1261667	1336667	1213333	1350000
3	1211667	24667	1300000	1385000	1291667	1323333
4	1076667	39000	1300000	988333	1126667	1235000
5	1315000	26667	1335000	1361667	1271667	1356667
6	1275000	41333	1191667	1311667	1068333	1146667
7	1298333	38333	1353333	1343333	1248333	1263333
8	1340000	34000	1261667	1248333	1275000	1263333
9	1340000	36500	1293333	1251667	1171667	1183333
Mean	1288741	36963	1295000	1281296	1217778	1277593
SD	95859	14503	52400	119061	79891	80351

ตัวอย่างที่	ปริมาณซัลโพร็อฟโรเมเนต จังหวัดเมืองผ่านกระบวนการไฟฟ้าในน้ำ cfu/mg					
	Ant 202 $\mu\text{M}$	Ant 303 $\mu\text{M}$	Ery 220 $\mu\text{M+}$	Cop 22 $\mu\text{M}$	Ery 220 $\mu\text{M+}$	Cop 220 $\mu\text{M}$
1	1366667	1218333	133833	96167	72667	114833
2	1296667	1203333	126167	45333	20500	135333
3	1270000	1218333	128833	69167	25000	139667
4	1115000	1250000	118000	95500	47000	119167
5	1315000	1251667	119000	134333	30833	131500
6	1245000	1231667	128167	126500	52667	115833
7	1136667	1173333	127167	108833	45500	128500
8	1255000	1100000	126500	113667	46333	119833
9	1241667	1291667	125000	102000	54167	116333
Mean	1249074	1215370	125852	99056	43852	124555
SD	80308	54593	4867	27649	16215	9340

ตารางที่ 18 ผลการรีบูนเชื้อพอร์ไฟโรโนเมต์ จิจิวัลส์ในแต่ละกลุ่มทดลอง (cfu/mg (ต่อ))

ตัวอย่างที่	ปริมาณเชื้อพอร์ไฟโรโนเมต์ จิจิวัลส์ในแต่ละกลุ่มทดลอง (cfu/mg)				
	Ery 220 $\mu\text{M}^+$	Ant 202 $\mu\text{M}$	Ery 220 $\mu\text{M}^+$ Ant 303 $\mu\text{M}$	Photo	0.12% CHX
1	131333		125333	1285000	288333
2	132500		119333	1290000	43167
3	130167		107667	1241667	33167
4	134333		127833	1226667	23500
5	94167		135667	1340000	30167
6	121500		87833	1238333	28333
7	118000		115167	1365000	28500
8	123167		121000	1061667	25333
9	103833		101667	1295000	46167
Mean	121000		115722	1260370	31907
SD	13827		14656	87626	7766

ตารางที่ 19 แสดงปริมาณเชื้อพาร์โพรโนเมต์ในแบบน้ำผ่าสำหรับกระบวนการฟอกไนโตริกส์ในหน่วย  $\log_{10}$  (cfu/mg)

ตัวอย่างที่	ปริมาณเชื้อพาร์โพรโนเมต์ จิจิวัลส์ในแหล่งกุ้งมหาดลอง $\log_{10}$ (cfu/mg)					Ant 101 $\mu\text{M}$
	Control	Ery 220 $\mu\text{M}$	Cop 22 $\mu\text{M}$	Cop 88 $\mu\text{M}$	Cop 220 $\mu\text{M}$	
1	6.12	4.85	6.13	6.12	6.11	6.14
2	6.15	4.33	6.1	6.13	6.08	6.13
3	6.08	4.39	6.11	6.14	6.11	6.12
4	6.03	4.59	6.11	5.99	6.05	6.09
5	6.12	4.43	6.13	6.13	6.10	6.13
6	6.11	4.62	6.08	6.12	6.03	6.06
7	6.11	4.58	6.13	6.13	6.10	6.1
8	6.13	4.53	6.1	6.1	6.11	6.1
9	6.13	4.56	6.11	6.1	6.07	6.07
Mean	6.11	4.54	6.11	6.11	6.08	6.10
SD	0.035	0.152	0.017	0.046	0.03	0.028

ตารางที่ 19 แสดงปริมาณเชื้อพอดีฟอร์โนเบนส์ จังหวัดสเม็ดปราบวนการ ไฟโต คิดน้ำมันส์ในหน่วย  $\log_{10}$  (cfu/mg) (ต่อ)

ตัวอย่างที่	ปริมาณเชื้อพอดีฟอร์โนเบนส์ จังหวัดสเม็ดปราบวนการ $\log_{10}$ (cfu/mg)					
	Ant 202 $\mu\text{M}$	Ant 303 $\mu\text{M}$	Ery 220 $\mu\text{M}+$	Cop 22 $\mu\text{M}$	Ery 220 $\mu\text{M}+$	Cop 220 $\mu\text{M}$
1	6.14	6.09	5.13	4.98	4.66	5.06
2	6.11	6.08	5.1	4.66	4.67	5.13
3	6.1	6.09	5.11	4.84	4.73	5.15
4	6.05	6.1	5.07	4.98	4.67	5.08
5	6.12	6.1	5.08	5.13	4.49	5.12
6	6.1	6.09	5.11	5.1	4.72	5.06
7	6.06	6.07	5.1	5.04	4.66	5.11
8	6.1	6.04	5.1	5.06	4.67	5.08
9	6.09	6.11	5.1	5.01	4.73	5.07
Mean	6.10	6.09	5.1	4.98	4.67	5.10
SD	0.028	0.021	0.017	0.146	0.073	0.033

ตารางที่ 19 ทดสอบรูปแบบเชื้อพาร์เพอร์ โนมแนต จิจิวิตาสเมื่อผ่านกระบวนการไฟฟ้าในน้ำก๊อกในห้องทดลอง  $\log_{10}$  (cfu/mg) (ต่อ)

ตัวอย่างที่	ปริมาณเชื้อพาร์เพอร์โนมแนต จิจิวิตาสในแหล่งกุ่มทดลอง $\log_{10}$ (cfu/mg)			
	Ery 220 $\mu\text{M}^+$ Ant 202 $\mu\text{M}$	Ery 220 $\mu\text{M}^+$ Ant 303 $\mu\text{M}$	Photo	0.12% CHX
1	5.12	5.1	6.11	4.46
2	5.12	5.08	6.11	4.64
3	5.11	5.03	6.09	4.52
4	5.13	5.11	6.09	4.37
5	4.97	5.13	6.13	4.48
6	5.08	4.94	6.09	4.45
7	5.07	5.06	6.14	4.45
8	5.09	5.08	6.03	4.4
9	5.02	5.01	6.11	4.66
Mean	5.08	5.06	6.1	4.49
SD	0.053	0.059	0.032	0.099



## ประวัติผู้เขียน

นายเพิ่มรัตน์ สรีระเทวิน สำเร็จปริญญาตรีจาก คณะทันตแพทยศาสตร์ มหาวิทยาลัยเชียงใหม่ เมื่อ พ.ศ. 2546 และศึกษาต่อในระดับปริญญาโท สาขาปริทันตวิทยา คณะทันตแพทยศาสตร์ มหาวิทยาลัยขอนแก่น ในปี พ.ศ. 2551 ระหว่างศึกษาต่อระดับปริญญาโท ได้รับทุนสนับสนุนการทำวิทยานิพนธ์จากสำนักงานกองทุนสนับสนุนการวิจัย (สกว.) และ คณะทันตแพทยศาสตร์ มหาวิทยาลัยขอนแก่น

